

19. Коэффициент зацепления

Для двух не пересекающихся друг с другом ориентированных контуров x , y в пространстве (x — первый контур, y — второй) можно следующим образом определить некоторое целое число, называемое *коэффициентом зацепления* этих контуров. Рассмотрим нормальную проекцию переплетения $x \cup y$ на некоторую («горизонтальную») плоскость и пусть a — двойная точка на этой проекции, в которой контур x идет ниже, чем y . Если, двигаясь вблизи a по направлению контура x , мы увидим (в проекции), что y пересекает его слева направо (рис. 120, а), то точке a припишем число $+1$, а если справа налево (рис. 120, б), то -1 . В остальных

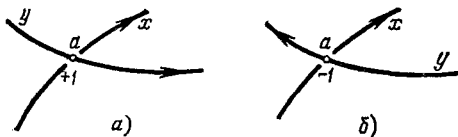


Рис. 120.

случаях (т. е. если пересекаются два участка одного и того же контура или если контур x проходит выше, чем y) двойной точке a припишем число 0. Сумма этих чисел по всем двойным точкам на проекции называется *коэффициентом зацепления* и обозначается через $w(x, y)$.

Пример 35. Для двух соседних звеньев обычной металлической цепи (рис. 121, а) коэффициент зацепления равен ± 1 (рис. 121, б). Для контуров, изображенных на рис. 122, имеем $w(x, y) = 3$.

Как мы увидим дальше, коэффициент зацепления $\omega(x, y)$ зависит лишь от расположения самих контуров x, y , а не от способа проектирования. Далее, если контуры x, y непрерывно деформируются в пространстве (например, движутся, как шарнирные ломаные), оставаясь

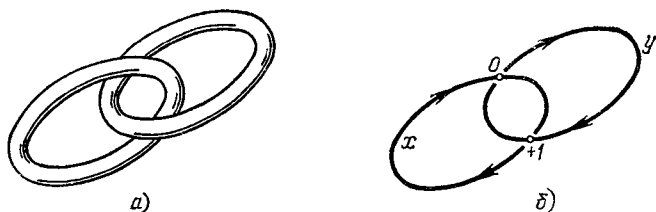


Рис. 121.

в каждый момент не пересекающимися, то их коэффициент зацепления $\omega(x, y)$ не меняется. Наконец, отметим, что коэффициент зацепления $\omega(x, y)$ является (с точностью до знака) *изотопическим инвариантом*. Иначе говоря, если f — гомеоморфное отображение трехмерного пространства на себя, то при этом отображении x, y переходят в такие контуры $f(x), f(y)$, что $\omega(f(x), f(y)) = \pm \omega(x, y)$.

Пример 36. В конце п. 2 упоминалось, что хотя дважды перекрученная лента гомеоморфна неперекрученной (см. рис. 8 на с. 13) эти фигуры не изотопны друг другу в пространстве.

Теперь мы можем это доказать. В самом деле, коэффициент зацепления краев ленты равен в случае дважды перекрученной ленты ± 1 (в зависимости от того, в какую сторону перекручена лента), а в случае неперекрученной ленты — нулю (рис. 123). Поэтому при гомеоморфном отображении пространства на себя дважды перекрученная лента не может перейти в неперекрученную. Дважды перекрученная лента не может быть превращена в неперекрученную, как бы мы ни деформировали ее (оставляя гомеоморфной себе); ведь при такой деформации края ленты перемещаются, не пересекаясь друг с другом, и потому коэффициент зацепления измениться не может.

Пример 37. Постоянный ток I , протекающий по бесконечному прямолинейному проводу P , создает магнит-

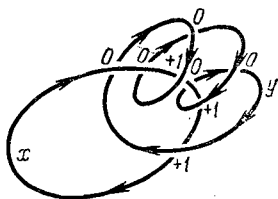


Рис. 122.

ное поле, напряженность которого на расстоянии r от провода имеет величину $H = \frac{2I}{r}$. Как известно, потенциал магнитного поля называется работа, которую надо затратить, чтобы из некоторой фиксированной точки x_0 (точки нулевого потенциала) переместить магнитный полюс,

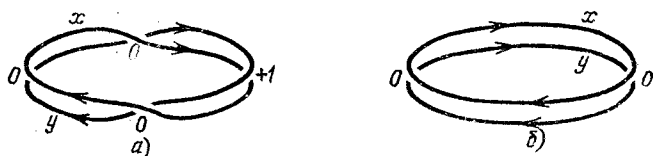


Рис. 123.

равный единице, в заданную точку поля. В рассматриваемом случае потенциал W магнитного поля многозначен. Действительно, если из точки x_0 перемещать магнитный полюс в точку a по двум путям, показанным на рис. 124, а, б,

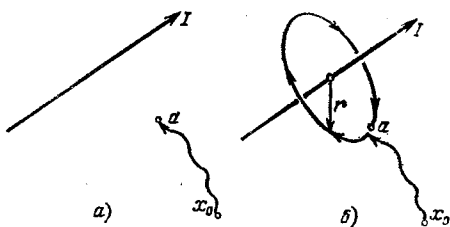


Рис. 124.

о первое перемещение требует дополнительной работы против силы $\frac{2I}{r}$ на пути $2\pi r$, т. е. дополнительной работы, численно равной $4\pi I$. Мы видим, что один обход вокруг провода (не обязательно по окружности — можно идти по любому пути) меняет магнитный потенциал $W(a)$ на величину $4\pi I$. Вообще, после m обходов вокруг провода, где m — целое число (положительное, отрицательное или нуль), потенциал изменится на $4\pi I m$. То же выражение для изменения потенциала справедливо в случае любого (не обязательно прямолинейного) провода (рис. 125). Число обходов («витков») пути z вокруг проводника P равно взятому со знаком минус коэффициенту за-

цепления проводника P с путем z , т. е. при обходе вокруг проводника P по замкнутому пути z магнитный потенциал меняется на величину $4\pi I m$, где $m = -w(P, z)$. Величину $I m$ иногда называют «числом ампервитков» (если ток I измеряется в амперах).

Задачи

136. Докажите, что при перестановке контуров их коэффициент зацепления не меняется; $w(x, y) = w(y, x)$.

137. Направленные контуры x, y относительно некоторой плоскости (учитывая направление обхода). Докажите, что $w(x^b, y^b) = -w(x, y)$.

138. Каков коэффициент зацепления края ленты Мёбиуса (см. рис. 50, z на с. 44) и его средней линии?

139. Пусть Q — поверхность, гомеоморфная ленте Мёбиуса (рис. 126), x — ее край, а y — «средняя линия» (т. е. образ средней линии ленты Мёбиуса M , изображенного на рис. 50, z , при гомеоморфизме $f: M \rightarrow Q$). Докажите, что число $w(x, y)$ нечетно.

Теперь мы дадим другое (эквивалентное) определение коэффициента зацепления. Будем представлять себе контуры x, y лежащими «почти целиком» в плоскости нормальной проекции, так что лишь вблизи двойных точек один из них проходит чуть ниже другого. Далее, рассмотрим ориентированную пленку Q , натянутую на контур y (так, как это было описано в задаче 132: контур y виден целиком, если смотреть на пленку Q сверху), причем будем считать, что эта пленка «провисает», располагаясь вблизи своего края почти вертикально (рис. 127). Тогда в тех двойных точках, в которых контур x идет выше y , он проходит и выше пленки Q , т. е. не пересекает ее. В тех же точках, где контур x проходит ниже y , он пересекает пленку Q ; при этом рассматриваемый участок контура x имеет с пленкой Q индекс пересечения $+1$, если, глядя по направлению линии x , мы видим, что линия y пересекает ее слева направо (рис. 128, a) и -1 , если пересечение происходит справа налево (рис. 128, b). Из этого сле-

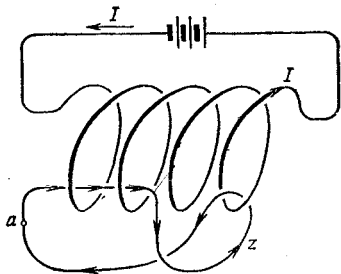


Рис. 125.

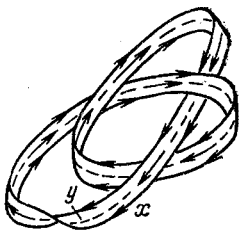


Рис. 126.

дует (если сравнить определение коэффициента зацепления и индекса пересечения), что справедливо равенство

$$\omega(x, y) = J(x, Q), \quad (20)$$

где Q — двумерная ориентируемая пленка, натянутая на контур y и согласованно с ним ориентированная.

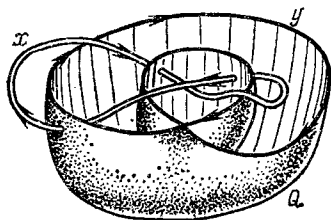


Рис. 127.

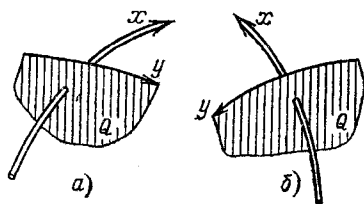


Рис. 128.

Равенство (20) останется справедливым, если взять любую пленку Q (не обязательно построенную так, как это было сделано в задаче 132). В самом деле, пусть имеются две различные ориентируемые пленки Q, Q' , натянутые на контур y и ориентированные согласованно с ним. Рассмотрим разность пленок Q и Q' , т. е. объединение пленки Q с имеющейся на ней ориентацией и пленки Q' с противоположной ориентацией. Эта разность является двумерным целочисленным циклом (даже если Q и Q' пересекаются). Так как индекс пересечения целочисленного цикла x с этим двумерным циклом равен нулю, то $J(x, Q) = J(x, Q')$.

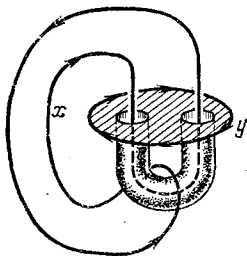


Рис. 129.

Из равенства (20) следует, что коэффициент зацепления (первоначально определенный с помощью нормальной проекции) не зависит от выбора плоскости

проекции. Из (20) вытекают также и другие упоминавшиеся выше свойства коэффициента зацепления.

Задачи

140. Пленка, натянутая на контур y (и находящаяся в общем положении с контуром x), пересекается с x в единственной точке. Докажите, что пленка, натянутая на контур x , пересекается с y .

141. Пусть x, y — ориентированные контуры в пространстве. Из формулы (20) вытекает, что если существует ориентированная пленка, натянутая на y и не пересекающаяся с x (рис. 129), то $\iota(x, y) = 0$. Докажите обратную теорему.

142. Докажите, что если $\iota(x, y)$ есть четное число, то существует пленка (возможно, не ориентируемая), натянутая на y и не имеющая общих точек с x .

143. Убедитесь, что три контура на рис. 117 имеют попарно коэффициенты зацепления, равные нулю. Постройте пленку, гомеоморфную ручке, которая натянута на один из этих контуров и не пересекается с двумя другими.